

(23)

高炉スラグと炭素飽和溶鉄間のSおよびSi移行

名古屋大学工学部 佐々健介
井上道雄

1. 緒言 著者らは前報⁽¹⁾において $\text{CaO}-\text{SiO}_2-\text{Al}_2\text{O}_3$ スラグの気相からの S 吸収と溶鉄への SiO_2 の還元との関係について実験結果を報告した。今回は $\text{CaO}-\text{SiO}_2-\text{Al}_2\text{O}_3$ 系スラグについて炭素飽和鉄との間の Si および S 移行速度の関係を明らかにしようと試みた。

2. 実験方法および結果 実験方法は前回と同じである。図 1 に a_{SiO_2} を一定にし a_{CaO} を変えた場合と a_{CaO} を一定にし a_{SiO_2} を変えた場合の各々についてシリカの還元速度 (a, b) およびスラグの S 吸収速度 (a', b') を示した。これより次の事が明らかとなる。

1) a_{SiO_2} が一定であればシリカの還元速度は、S 吸収を伴なう時には、 a_{CaO} に比例して大きくなり、S を含まない場合と異なった挙動を示す。

2) a_{CaO} が一定の場合には、還元速度は a_{SiO_2} に比例するのと当然であるが、S 吸収を伴なう場合の方が速い。

3) スラグの S 吸収速度は溶鉄が存在すると遅くなる。

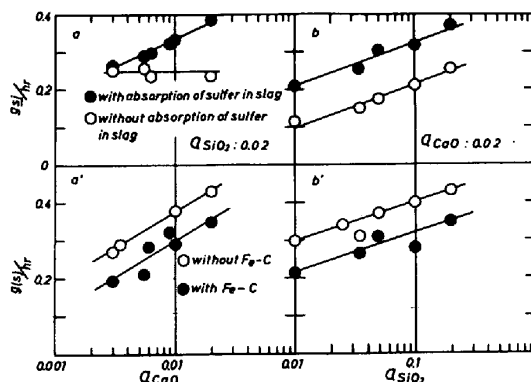
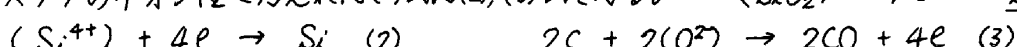


図 1 シリカ還元速度および S 吸収速度と a_{SiO_2} および a_{CaO} の関係

次に始めから S を含む $\text{CaO}-\text{SiO}_2-\text{Al}_2\text{O}_3$ (40-40-20) スラグについてシリカの還元速度を求めると、図 2 に示すように S 含有の高い方が促進されることが認められる。このスラグ-メタル間の S の移行について測定した結果、硫黄ははじめ溶鉄内に移行し再びスラグ内に戻る傾向を示すが、(S) が高いほどその傾向は著しい。

3. 考察 既報⁽¹⁾のごとく $\text{CaO}-\text{SiO}_2$ (55-45) 二元系スラグではシリカの還元速度は S 吸収の増加と共に遅くなる。しかし a_{SiO_2} が一定でも S 吸収速度は a_{CaO} に比例するのでシリカの還元速度も a_{CaO} に比例する。また一方、スラグの S 吸収速度は a_{CaO} が一定であれば a_{SiO_2} に比例する (図 1, b) が、他方 S 吸収速度は溶鉄と共存する場合はスラグ-黒鉛界面積の減少のため遅くなる。始めからスラグが S を含有している場合、溶鉄への Si の還元速度を求めるとやはり (S) が高い程還元速度は大となるが時間の経過と共に速度が低下する傾向を示す。(図 2) この時スラグ-メタル界面を通しての S 移行をみると図に示すように一旦復硫し、再びスラグに戻る経過を辿ることが認められる。このような挙動は既に L. D. Kirkbride 等⁽²⁾によっても認められているが、S の移行には同時に Fe

や Si の移行を伴なうと考えねばならない。一般にスラグからの Si の還元は (1) 式: $\text{SiO}_2 + 4e \rightarrow \text{Si}$ (1)



S を伴なう場合には (4) 式が加わり Si の還元を促進する。 $(\text{S}^{2-}) \rightarrow \text{S} + 2e$ (4) (2) 式と (4) 式の関係より (S) 1 モルの移行は Si 1/2 モルの移行と考えられるので図 2 の (S) の移行量より Si の移行量を求めると図 2 の破線となりおおむね一致している。文献 (1) 佐々、井上：鉄と鋼 59 (1973) S 335

(2) L. D. Kirkbride, G. Derge: Trans. Met. Soc. AIME 218 (1960) P. 87

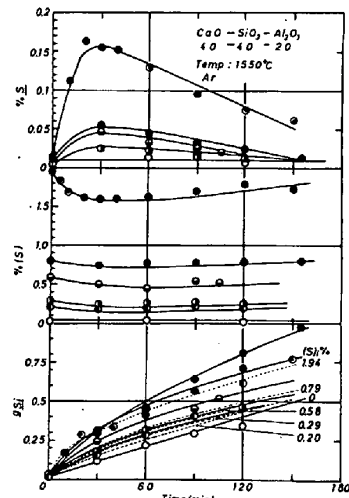


図 2 シリカの還元速度における S 添加の影響